



SPRAWOZDANIE NR OS/1005/24

Z POMIARÓW NATĘŻENIA PÓL ELEKTROMAGNETYCZNYCH

WYKONANYCH DLA CELÓW OCHRONY ŚRODOWISKA

Miejsce wykonania badania:	JRS7012A	
	37-550 Ostrów, dz. nr 1382, pow. jarosławski, woj. PODKARPACKIE	
Współrzędne geograficzne:	49°57'49.71"N, 22°46'45.63"E	
Data wykonania pomiarów:	14.11.2024	
Data wydania sprawozdania:	15.11.2024	
Zleceniodawca:	P4 sp. z o.o. ul. Wynalazek 1 02-667 Warszawa	
Sprawozdanie wykonał:	Sprawdził:	Autoryzował:
Mateusz Maliszewski Specjalista ds. analiz i wizualizacji wyników	mgr inż. Wojciech Lubiński Kierownik ds. jakości	mgr inż. Wojciech Lubiński Kierownik ds. jakości

1. INFORMACJE O UŻYTKOWNIKU ¹

- **Zleceniodawca:** P4 sp. z o.o. ul. Wynalazek 1, 02-667 Warszawa
- **Typ obiekt:** Instalacja radiokomunikacyjna zainstalowana na wieży kratowej
- **Numer obiektu:** JRS7012A
- **Adres obiektu:** 37-550 Ostrów, dz. nr 1382, pow. jarosławski, woj. PODKARPACKIE
- **Współrzędne geograficzne:** 49°57'49.71"N, 22°46'45.63"E

2. CHARAKTERYSTYKA ŹRÓDEŁ PEM ¹

Tabela 1. Parametry systemu nadawczo-odbiorczego

Charakterystyka promieniowania				kierunkowa					
Rzeczywisty czas pracy [h/dobę]				Całodobowa 24h					
Warunki pracy				Znamionowe					
Rodzaj wytwarzanego pola				stacjonarne					
Lp.	Typ nadajnika	Antena Producent / Typ	Azymut [°]	Wysokość środka elektr. anteny [m n.p.t.]	Pasmo [Mhz]	Kąt nachylenia [°]	EIRP dla anteny [W]	LON	LAT
1	RBS6xxx/2xxx/4xxx	Huawei ADU4518R8	40	52,7	800	0 - 10	8976	22°46'45.63"E	49°57'49.71"N
	RBS6xxx/2xxx/4xxx				1800	2 - 12		22°46'45.63"E	49°57'49.71"N
2	RBS6xxx/2xxx/4xxx	Huawei ADU4518R8	40	52,7	900	0 - 10	8017	22°46'45.63"E	49°57'49.71"N
	RBS6xxx/2xxx/4xxx				2100	2 - 12		22°46'45.63"E	49°57'49.71"N
3	RBS6xxx/2xxx/4xxx	Huawei ADU4518R8	160	52,7	800	0 - 10	8976	22°46'45.63"E	49°57'49.71"N
	RBS6xxx/2xxx/4xxx				1800	2 - 12		22°46'45.63"E	49°57'49.71"N
4	RBS6xxx/2xxx/4xxx	Huawei ADU4518R8	160	52,7	900	0 - 10	8017	22°46'45.63"E	49°57'49.71"N
	RBS6xxx/2xxx/4xxx				2100	2 - 12		22°46'45.63"E	49°57'49.71"N
5	RBS6xxx/2xxx/4xxx	Huawei ADU4518R8	280	52,7	800	0 - 10	8976	22°46'45.63"E	49°57'49.71"N
	RBS6xxx/2xxx/4xxx				1800	2 - 12		22°46'45.63"E	49°57'49.71"N
6	RBS6xxx/2xxx/4xxx	Huawei ADU4518R8	280	52,7	900	0 - 10	8017	22°46'45.63"E	49°57'49.71"N
	RBS6xxx/2xxx/4xxx				2100	2 - 12		22°46'45.63"E	49°57'49.71"N

¹ Dane pozyskane od Klienta

Tabela 2. Parametry radiolinii

Charakterystyka promieniowania				kierunkowa					
Rzeczywisty czas pracy [h/dobę]				24					
Rodzaj wytwarzanego pola				stacjonarne					
Linia radiowa				Antena					
Lp	Typ nadajnika	Częstotliwość pracy [GHz]	Moc wyjściowa [dBm]	Typ/producent	Średnica anteny [m]	Azymut [°]	Wysokość zainstal. [m]	LON	LAT
1	OPTIX RTN/HUAWEI	23	28	0.6-23(A23D06)	0,6	93	50,5	22°46'45.63"E	49°57'49.71"N
2	OPTIX RTN/HUAWEI	32	26	0.6-32(A32D06)	0,6	123	50,5	22°46'45.63"E	49°57'49.71"N

Inne źródła PEM: W obszarze pomiarowym badanego obiektu **nie występują** inne źródła promieniowania pola elektromagnetycznego, które w zakresie badanych częstotliwości bezpośrednio wpływają na wynik wartości mierzonej natężenia pola.

3. OPIS POMIARÓW

Cel badań: Sprawdzenie dotrzymania dopuszczalnych poziomów pól elektromagnetycznych, w otoczeniu instalacji wytwarzających takie pola.

3.1. Data oraz warunki pomiarów

Data pomiarów	Godzina		Opady	Temperatura [C]		Wilgotność [%]	
	rozpoczęcia pomiarów	zakończenia pomiarów		Minimalna	Maksymalna	Minimalna	Maksymalna
14.11.2024	18:00	19:00	Brak	2,8	3,4	73,0	73,7

3.2. Aparatura pomiarowa:

Tabela 3. Opis zestawu pomiarowego

Nazwa	Typ/model	Numer fabryczny/SN	Świadectwo wzorcowania	Zastosowanie
Szerokopasmowy miernik natężenia pola elektromagnetycznego	NBM- 520	D-2228	LWiMP/W/157/24 z dnia 16.05.2024 (Laboratorium Wzorców i Metrologii Pola Elektromagnetycznego Instytutu Telekomunikacji, Teleinformatyki i Akustyki Politechniki Wrocławskiej)	Pomiary pola elektromagnetycznego
Sonda pomiarowa pola elektrycznego	EF-9091	A-0139		
Szerokopasmowy miernik natężenia pola elektromagnetycznego	NBM- 520	D-2187	LWiMP/W/56/23 z dnia 17.02.2023 (Laboratorium Wzorców i Metrologii Pola Elektromagnetycznego Instytutu Telekomunikacji, Teleinformatyki i Akustyki Politechniki Wrocławskiej)	
Sonda pomiarowa pola elektrycznego	EF-0691	J-0201		
Termohigrometr	Termioplus - S	SN 120823	586/2024 z dnia 01.03.2024 (Instytut Energetyki - Państwowy Instytut Badawczy)	Pomiary wilgotności względnej powietrza Pomiary temperatury powietrza
Odbiornik GPS	Garmin GLO2	1792A-A1156/5PS066633	-	Pomiar współrzędnych geograficznych

3.3. Wyznaczenie niepewności pomiarów:

Ocenę niepewności przyjmuje się zgodnie z procedurą stosowaną w laboratorium.

Wyznaczona rozszerzona niepewność pomiaru dla współczynnika rozszerzenia $k = 2$ dla zestawu pomiarowego z pkt.3.2 w dniu pomiaru wynosi 33,09%.

3.4. Kryteria przedstawiania stwierdzeń zgodności

Niniejsze sprawozdanie zgodnie z zasadami systemu akredytacji zawiera stwierdzenia zgodności.

W przypadku badań poziomów pola elektromagnetycznego w środowisku stwierdzenie zgodności dotyczy rozstrzygnięcia, czy zmierzona wartość opisująca pole elektromagnetyczne przekracza wartość dopuszczalną dla zakresu częstotliwości, w którym pracują źródła podaną w Rozporządzeniu Ministra Zdrowia z dnia 17 grudnia 2019 r. w sprawie dopuszczalnych poziomów pól elektromagnetycznych w środowisku (Dz. U. z 2019 r. poz. 2448).

3.5. Metodyka wykonania pomiarów:

Zastosowano metodę znormalizowaną w oparciu o Rozporządzenie Ministra Klimatu i Środowiska z dnia 6 maja 2022 r. zmieniające rozporządzenie w sprawie sposobów sprawdzania dotrzymania dopuszczalnych poziomów pól elektromagnetycznych w środowisku (Dz.U. 2022 poz. 1121).

3.6. Przepisy prawne:

- Ustawa z dnia 27 kwietnia 2001 r. Prawo ochrony środowiska (Dz.U. 2024 r. poz. 834).
- Rozporządzenie Ministra Zdrowia z dnia 17 grudnia 2019 r. w sprawie dopuszczalnych poziomów pól elektromagnetycznych w środowisku (Dz. U. z 2019 r. poz. 2448).
- Rozporządzenie Ministra Klimatu z dnia 17 lutego 2020 r. w sprawie sposobów sprawdzania dotrzymania dopuszczalnych poziomów pól elektromagnetycznych w środowisku Załącznik do obwieszczenia Ministra Klimatu i Środowiska z dnia 21 listopada 2022 r. (Dz. U. poz. 2630).

3.7. Opis pomiarów

Stacja bazowa JRS7012A usytuowana jest na wieży kratowej zlokalizowanej pod adresem 37-550 Ostrów, dz. nr 1382, pow. jarosławski, woj. PODKARPACKIE. Anteny i moduły RRU zamontowane są na antenowych konstrukcjach wsporczych a urządzenia są w szafie APM zainstalowanej u podnóża wieży. W otoczeniu stacji zlokalizowana jest zabudowa jednorodzinna oraz pola uprawne. Analiza parametrów technicznych wykazała, że urządzenia nadawcze stacji pracują w paśmie częstotliwości zgodnie z tabelą 1 oraz tabelą 2. Moc wyjściowa nadajników doprowadzona jest do anten przy pomocy ekranowanych fiderów.

Pomiary w otoczeniu stacji bazowej wykonano wzdłuż kierunków maksymalnego zasięgu oddziaływania pola elektromagnetycznego na kierunkach osi głównych wiązek anten sektorowych do odległości określonej zgodnie z wytycznymi zawartymi w instrukcji wykonywania pomiarów, podczas rzeczywistej pracy urządzeń wytwarzających pola elektromagnetyczne.

Pomiary wykonano dla średniego pochylenia wiązki liczonego jako średnia arytmetyczna z minimalnej i maksymalnej wartości stosowanego lub planowanego kąta pochylenia. Średnie wartości tilt ustawiane są przez Klienta. W przypadku, gdy na danym azymucie zainstalowano kilka anten, średnia wartości tilt ustawiona jest jednakowa dla wszystkich anten. Przyjmuje się najgorszą wartość spośród anten zainstalowanych na danym kierunku.

Pomiary w przyjętych pionach pomiarowych wykonano w punktach położonych na wysokościach od 0,3 m do 2,0 m nad powierzchnią ziemi lub nad innymi powierzchniami, na których mogą przebywać ludzie, przyjmując za wynik pomiaru maksymalny poziom natężenie pól elektromagnetycznego.

Pomiary wykonano w dodatkowych pionach pomiarowych w lokalach oraz na balkonach i tarasach, na których mogą przebywać ludzie, po poinformowaniu o planowanych pomiarach z minimum 3-dniowym wyprzedzeniem i po umożliwieniu dostępu do lokalu, balkonu lub tarasu przez jego dysponenta lub bez zachowania terminu wskazanego w pierwszej części zdania za zgodą dysponenta przestrzeni pomiarowej.

Punkty pomiarowe wewnątrz budynków oraz na tarasach/balkonach wyznaczono na podstawie przeprowadzonych obliczeń rozkładu pola elektromagnetycznego. Jako wartość graniczną do wyznaczenia odległości zasięgu pola elektromagnetycznego przyjęto wartość 9 V/m. Jest to wartość wypadkowa po uwzględnieniu współczynników odpowiadającym emisji z obcych źródeł promieniowania elektromagnetycznego oraz efekt odbicia fal radiowych. Obliczenia te wykonywane są uwzględniając parametry systemu antenowego dostarczone przez Klienta. W tym obszarze pomiary w budynkach wykonywane są obligatoryjnie. Jeżeli w ww. obszarze nie zlokalizowano żadnych budynków dodatkowo wyznaczono reprezentatywne budynki, wewnątrz których wykonano dodatkowe pomocnicze punkty pomiarowe.

Przy doborze pionów pomiarowych uwzględniono charakter i sposób zagospodarowania terenu otaczającego stację bazową.

3.8. Sposób identyfikacji widma częstotliwości:

Parametry stacji bazowej uzyskane od właściciela instalacji stacji bazowej.

4. WYNIKI POMIARÓW

Wyniki pomiarów ważne są jedynie dla danej konfiguracji urządzeń w dniu, w którym wykonano pomiary.

Wynik pomiaru, to maksymalna wartości chwilowa zmierzona w danym pionie pomiarowym powiększona o rozszerzoną niepewność pomiaru U dla współczynnika rozszerzenia $k = 2$ (dla poziomu ufności 95%).

Tabela 4. Dopuszczalne poziomy pól elektromagnetycznych

Parametr fizyczny Zakres częstotliwości pola elektromagnetycznego	Składowa elektryczna	Składowa magnetyczna
od 400 MHz do 2000 MHz	$1,375 \times f^{0,5}$ V/m	$0,00375 \times f^{0,5}$ A/m
Od 2 GHz do 300 GHz	61 V/m	0,16 A/m

Do wyznaczania wartości wskaźnikowych WM_E i WM_H przyjęto najniższe wartości dopuszczalne poziomów pól elektromagnetycznych w/w zakresów częstotliwości.

Tabela 5. Wyniki pomiarów

Nr pionu	Opis miejsca pomiaru	Pomiar wewnątrz pomieszczenia	Współrzędne geograficzne		Wynik poniżej progu detekcji*	E_p [V/m]	U [V/m]	$E_p + U$ [V/m]	H [A/m]	WME	WMH	Przekroczenie wartości dopuszczalnej
			[°] E	[°] N								
1	Poziom gruntu - oś głównej wiązki anteny radioliniowej azymut 93st	NIE	22,779936179	49,964044205	NIE	0,92	0,31	1,23	0,003	0,04	0,044	nie przekracza
2	Poziom gruntu - oś głównej wiązki anteny radioliniowej azymut 93st	NIE	22,780675171	49,964020089	TAK	<0,80	0,27	1,07	0,003	0,04	0,038	nie przekracza
3	Poziom gruntu - oś głównej wiązki anteny radioliniowej azymut 123st	NIE	22,780472581	49,963575836	NIE	1,00	0,34	1,34	0,004	0,05	0,048	nie przekracza
4	Poziom gruntu - oś głównej wiązki anteny radioliniowej azymut 123st	NIE	22,779808411	49,963840976	TAK	<0,80	0,27	1,07	0,003	0,04	0,038	nie przekracza
5	Poziom gruntu - oś głównej wiązki anteny sektorowej azymut 160st	NIE	22,779528680	49,963660740	NIE	0,92	0,31	1,23	0,003	0,04	0,044	nie przekracza
6	Poziom gruntu - oś głównej wiązki anteny sektorowej azymut 160st	NIE	22,779858596	49,963054835	NIE	0,87	0,29	1,16	0,003	0,04	0,042	nie przekracza
7	Poziom gruntu - oś głównej wiązki anteny sektorowej azymut 160st	NIE	22,780279756	49,962364796	TAK	<0,80	0,27	1,07	0,003	0,04	0,038	nie przekracza
8	Poziom gruntu - oś głównej wiązki anteny sektorowej azymut 160st	NIE	22,780607538	49,961731906	NIE	0,88	0,30	1,18	0,003	0,04	0,042	nie przekracza
9	Poziom gruntu - pomocniczy pion pomiarowy	NIE	22,780486030	49,963034360	TAK	<0,80	0,27	1,07	0,003	0,04	0,038	nie przekracza
10	Poziom gruntu - pomocniczy pion pomiarowy	NIE	22,781466039	49,964300862	TAK	<0,80	0,27	1,07	0,003	0,04	0,038	nie przekracza
11	Poziom gruntu - pomocniczy pion pomiarowy	NIE	22,782093638	49,965173084	NIE	0,87	0,29	1,16	0,003	0,04	0,042	nie przekracza
12	Poziom gruntu - pomocniczy pion pomiarowy	NIE	22,782298712	49,966004996	TAK	<0,80	0,27	1,07	0,003	0,04	0,038	nie przekracza
13	Poziom gruntu - oś głównej wiązki anteny sektorowej azymut 40st	NIE	22,781735314	49,965951252	TAK	<0,80	0,27	1,07	0,003	0,04	0,038	nie przekracza

Nr pionu	Opis miejsca pomiaru	Pomiar wewnątrz pomieszczenia	Współrzędne geograficzne		Wynik poniżej progu detekcji*	E_p [V/m]	U [V/m]	$E_p + U$ [V/m]	H [A/m]	WME	WMH	Przekroczenie wartości dopuszczalnej
			[°] E	[°] N								
14	Poziom gruntu - oś głównej wiązki anteny sektorowej azymut 40st	NIE	22,780931551	49,965328244	TAK	<0,80	0,27	1,07	0,003	0,04	0,038	nie przekracza
15	Poziom gruntu - oś głównej wiązki anteny sektorowej azymut 40st	NIE	22,780112454	49,964687697	TAK	<0,80	0,27	1,07	0,003	0,04	0,038	nie przekracza
16	Poziom gruntu - oś głównej wiązki anteny sektorowej azymut 280st	NIE	22,778520311	49,964171552	NIE	1,12	0,38	1,50	0,004	0,05	0,054	nie przekracza
17	Poziom gruntu - oś głównej wiązki anteny sektorowej azymut 280st	NIE	22,777425131	49,964288424	NIE	0,88	0,30	1,18	0,003	0,04	0,042	nie przekracza
18	Poziom gruntu - oś głównej wiązki anteny sektorowej azymut 280st	NIE	22,776553041	49,964398014	TAK	<0,80	0,27	1,07	0,003	0,04	0,038	nie przekracza
19	Poziom gruntu - oś głównej wiązki anteny sektorowej azymut 280st	NIE	22,775485033	49,964504966	TAK	<0,80	0,27	1,07	0,003	0,04	0,038	nie przekracza

Objaśnienia:

$$E_p: E_{poprawne} = E_{wskazane} * C_{d(E)} * C_{f(f)}$$

$E_{wskazane}$ - zmierzona maksymalna wartość chwilowa natężenia pola elektrycznego

$C_{d(E)}$ – charakterystyka dynamiczna sondy – zgodna ze świadectwem wzorcowania

$C_{f(f)}$ – charakterystyka częstotliwościowa sondy – zgodna ze świadectwem wzorcowania

H – wyznaczona wartość natężenia pola magnetycznego z uwzględnieniem współczynnika korekcyjnego oraz rozszerzonej niepewności pomiaru.

WM_E - wartość wskaźnikowa poziomu oddziaływania pól elektromagnetycznych dla miejsc dostępnych dla ludności dla składowej elektrycznej pola.

WM_H - wartość wskaźnikowa poziomu oddziaływania pól elektromagnetycznych dla miejsc dostępnych dla ludności dla składowej magnetycznej pola.

* Wynik poniżej progu detekcji - wartość zmierzona poniżej zakresu akredytacji. Do obliczeń przyjęto wartość zgodną z dolną granicą akredytowanego zakresu pomiarowego metody.

Piony pomiarowe wewnątrz budynków oraz na tarasach/balkonach wyznaczono na podstawie przeprowadzonych obliczeń rozkładu pola elektromagnetycznego zgodnie z wewnętrznymi procedurami laboratorium.

5. WNIOSKI

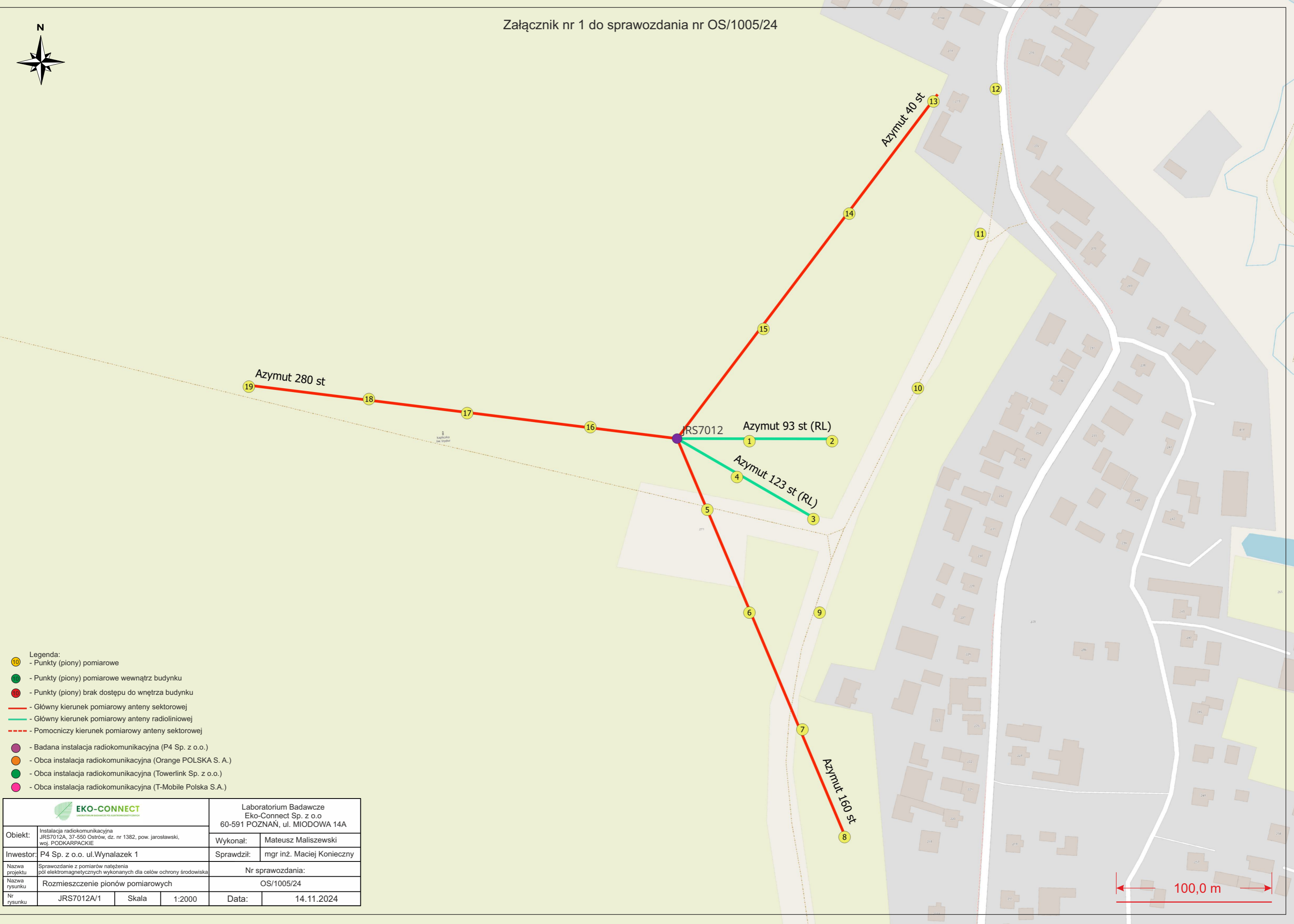
Stwierdza się, iż na podstawie uzyskanych wyników pomiarów i informacji uzyskanych od operatora, w otoczeniu stacji bazowej telefonii komórkowej JRS7012A w miejscach dostępnych dla ludności, w których dokonano pomiaru, nie zostały przekroczone wartości graniczne poziomów pól elektromagnetycznych określonych w Rozporządzeniu Ministra Zdrowia z dnia 17 grudnia 2019 r. w sprawie dopuszczalnych poziomów pól elektromagnetycznych w środowisku (Dz. U. z 2019 r. poz. 2448).

Stwierdzenie zgodności zostało przedstawione na podstawie wyników badań oraz informacji uzyskanych od Klienta (za które Laboratorium nie ponosi odpowiedzialności) dla instalacji opisanej w punkcie 2. Stwierdzenia zgodności dokonano na podstawie zasady podejmowania decyzji i wymagań zawartych w załączniku do Rozporządzenia Ministra Klimatu z dnia 17 lutego 2020 r. w sprawie sposobów sprawdzania dotrzymania dopuszczalnych poziomów pól elektromagnetycznych w środowisku (Dz.U. 2022 poz. 2630 z 15.12.2022r.).

- Sprawozdanie zawiera 9 stron
- Załączniki: nr 1 – mapa z rozmieszczeniem pionów pomiarowych wokół obiektu
- Otrzymują:
 1. Zleceniodawca: - 1 egz.
 2. a / a: 1 egz.

Bez pisemnego zezwolenia laboratorium Eko-Connect Sp. z o.o. sprawozdanie nie może być powielane inaczej, jak tylko w całości.

KONIEC SPRAWOZDANIA



- Legenda:
- Punkty (piony) pomiarowe
 - Punkty (piony) pomiarowe wewnątrz budynku
 - Punkty (piony) brak dostępu do wnętrza budynku
 - Główny kierunek pomiarowy anteny sektorowej
 - Główny kierunek pomiarowy anteny radioliniowej
 - Pomocniczy kierunek pomiarowy anteny sektorowej
 - Badana instalacja radiokomunikacyjna (P4 Sp. z o.o.)
 - Obca instalacja radiokomunikacyjna (Orange POLSKA S. A.)
 - Obca instalacja radiokomunikacyjna (Towerlink Sp. z o.o.)
 - Obca instalacja radiokomunikacyjna (T-Mobile Polska S.A.)

 EKO-CONNECT <small>LABORATORIUM BADAWCZE POL. ELEKTROMAGNETYCZNEJ</small>				Laboratorium Badawcze Eko-Connect Sp. z o.o 60-591 POZNAŃ, ul. MIODOWA 14A	
Obiekt:	Instalacja radiokomunikacyjna JRS7012A, 37-550 Ostrów, dz. nr 1382, pow. jarosławski, woj. PODKARPACKIE			Wykonał:	Mateusz Maliszewski
Inwestor:	P4 Sp. z o.o. ul. Wynalazek 1			Sprawdził:	mgr inż. Maciej Konieczny
Nazwa projektu	Sprawozdanie z pomiarów natężenia pól elektromagnetycznych wykonanych dla celów ochrony środowiska			Nr sprawozdania:	
Nazwa rysunku	Rozmieszczenie pionów pomiarowych			OS/1005/24	
Nr rysunku	JRS7012A/1	Skala	1:2000	Data:	14.11.2024

